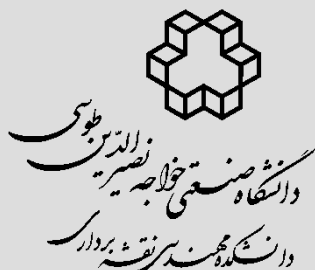


# نشریه علمی پژوهشی مهندسی فناوری اطلاعات مکانی



سال هفتم، شماره دوم، تابستان ۱۳۹۸

Vol.7, No.2, Summer 2019

۱ - ۲۰

مقاله پژوهشی

## شناسایی مناطق بارز در تصاویر ماهواره‌ای با استفاده از ترکیب آشکارساز عوارض موضعی *MSER* و مدل‌های برجستگی تصویر

فریبرز قربانی<sup>۱\*</sup>، حمید عبادی<sup>۲</sup>، امین صداقت<sup>۳</sup>

۱- دانشجوی کارشناسی ارشد، گروه فتوگرامتری، دانشگاه صنعتی خواجه نصیرالدین طوسی

۲- استاد دانشکده مهندسی نقشه‌برداری، دانشگاه صنعتی خواجه نصیرالدین طوسی

۳- استادیار گروه مهندسی نقشه‌برداری، دانشگاه تبریز

تاریخ دریافت مقاله: ۱۳۹۵/۱۱/۱۳ تاریخ پذیرش مقاله: ۱۳۹۵/۰۴/۰۵

### چکیده

امروزه با توجه به پیشرفت تصاویر ماهواره‌ای در زمینه کیفیت بحث تشخیص اتوماتیک اهداف بر روی این تصاویر مورد توجه محققان قرار گرفته است. تصاویر سنجش از دور مرئی شامل اهداف مکانی متنوعی هستند. این اهداف عموماً دستساز بشر بوده و دارای یک ساختار مشخص و متمایز از نواحی اطراف خود می‌باشند. روش‌های مختلفی جهت شناسایی اتوماتیک اهداف مکانی ارائه شده است که در اکثر این روش‌ها جستجوی اهداف در تصاویر جهت استخراج و با تطبیق ویژگی‌ها به منظور شناسایی اهداف مکانی صورت می‌پذیرد. در همین راستا در این تحقیق با هدف سرعت بخشیدن به مراحل شناسایی، مناطقی در تصویر انتخاب می‌شوند که در آنها احتمال وجود اهداف مکانی بسیار بالا خواهد بود. این امر به اتوماتیک نمودن فرآیند و نیز سرعت بخشیدن به پردازش‌های آتی مرتبط کمک شایانی خواهد نمود. برای این منظور از ترکیب مدل‌های برجستگی تصویر و ویژگی‌های الگوریتم‌های آشکارسازی عوارض موضعی بهره گرفته شده است. روش ارائه شده از سه مرحله اصلی تشکیل شده است. این مراحل شامل استخراج عوارض موضعی توسط الگوریتم *Maximally MSER* ( و *Weighted WMAP* ) ( Adaptive Whitening Saliency ) ( AWS ) ( Stable Extremal Regions Weighted ) ( *Maximum Alignment Phase* ) ( *Maximum Alignment Phase* ) بر روی تصویر و تعیین مناطق بارز تصویری است. در این تحقیق حد آستانه‌های با محاسبه مقادیر برجستگی در کل تصویر تعریف شده است که با اعمال آن به هر ناحیه استخراج شده، مناطق بارز تصویر شناسایی می‌شوند. این روش، روی تصاویر متعددی شامل ۶ تصویر ماهواره‌ای از سنجندهای مختلف و ۶ تصویر ماهواره‌ای اخذ شده از نرمافزار گوگل ارث که حاوی اهداف مکانی مختلف با پس‌زمینه‌های متفاوت هستند؛ آزمایش شد. به منظور ارزیابی کمی مناطق شناسایی شده از دو معیار استفاده شده است. همچنین این روش با رویکرد اعمال الگوریتم قطعه‌بندی انتقال میانگین جهت شناسایی مناطق بارز مورد مقایسه قرار گرفت. نتایج به دست آمده از اعمال روش پیشنهادی نشان می‌دهد، به طور متوسط مساحت مناطق شناسایی شده در حدود ۹۸٪۲۸ درصد از مساحت کل تصاویر استفاده شده است؛ به طوری که حدود ۵٪۱ مساحت مناطق شناسایی واقع شده‌اند. همچنین میزان متوسط زمان محاسباتی برابر ۲۲٪۱ ثانیه گزارش شده است. نتایج نشان دهنده برتری روش پیشنهادی از نظر دقت و سرعت محاسبات است.

کلید واژه‌ها : مناطق بارز، تصاویر ماهواره‌ای، الگوریتم AWS، الگوریتم WMAP

\* نویسنده مکاتبه کننده: تهران، خیابان ولی‌عصر، بالاتر از میدان ونک، تقاطع میرداماد، دانشکده مهندسی نقشه‌برداری

تلفن: ۰۲۱۸۸۸۷۷۰۷۱

## ۱- مقدمه

و انتخاب نمایند<sup>[۷]</sup>. این پردازش‌های تصویری پیچیدگی‌های صحنه را جهت تحلیل و بررسی منطقهٔ مورد مطالعه کاهش خواهند داد<sup>[۸]</sup>.

عارض موضعی به عنوان یکی از مسائل بنیادی و اساسی در زمینه‌های مختلف ماشین بینایی به شمار می‌رود. اخیراً کاربرد این عوارض در رشته‌های فتوگرامتری و سنجش از دور نیز به عنوان یکی از مباحث مهم مطرح شده است. یک عارضهٔ موضعی در واقع یک الگوی تصویری است که با ععارض همسایه خود متفاوت است. معمولاً این تفاوت در یک یا چند ویژگی<sup>۹</sup> به طور همزمان اتفاق می‌افتد. از جمله این ویژگی‌ها می‌توان به رنگ، بافت و درجهٔ خاکستری اشاره نمود. اغلب اندازه‌گیری‌ها از مرکز یک ناحیه صورت پذیرفته و به توصیف‌گرها بی تبدیل شده که در کاربردهای گوناگون، نظری تناظریابی تصاویر<sup>[۱۰ و ۹]</sup>، ثبت تصاویر<sup>[۱۱]</sup>، شناسایی تغییرات<sup>[۱۲]</sup>، استخراج اهداف<sup>[۱، ۶]</sup>، مدل‌سازی سه بعدی<sup>[۱۳]</sup>، بازیابی تصاویر<sup>[۱۴]</sup> و غیره مورد استفاده قرار می‌گیرند. الگوریتم‌هایی که برای استخراج این الگوها ارائه شده‌اند؛ امکان شناسایی ععارض را بدون نیاز به قطعه‌بندی<sup>۷</sup> فراهم می‌آورند. مطابق تحقیقات صورت گرفته کاربردهای الگوریتم‌های آشکارسازی ععارض موضعی به سه دستهٔ مختلف تقسیم‌بندی شده‌اند<sup>[۱۵]</sup>:

دستهٔ اول یک نوع خاص از ععارض موضعی را در نظر گرفته که تفسیر معنایی خاص در یک زمینهٔ محدود و تنها در یک کاربری خاص داشته باشند. برای مثال برای شناسایی لبه‌های جاده در تصاویر هوایی از حباب‌های تصویری استفاده کرده و ععارض نامرتبط را حذف می‌نمایند. این دسته از ابتدایی‌ترین کاربردهای ععارض موضعی به شمار می‌رود<sup>[۱۵]</sup>.

در دستهٔ دوم، با شناسایی ععارض موضعی یک

امروزه تصاویر ماهواره‌ای از لحاظ کمیت و کیفیت رشد فراوانی داشته به طوری که با توجه به قدرت تفکیک بالای این تصاویر اطلاعات بصری ارزشمندی جهت توصیف سطح ظاهری زمین ارائه می‌شود. به تبع این پیشرفت، تکنیک‌های سنجش از دور نیز رشد قابل توجهی یافته‌اند. در همین راستا به منظور به دست آوردن اطلاعات مفید از تصاویر، ضروری است که پردازش اتوماتیک تصویر و درک درستی از محتوای بصری آن مورد مطالعه قرار گیرد.

شناسایی اتوماتیک اهداف مکانی<sup>۱</sup>، بر روی تصاویر هوایی و ماهواره‌ای یکی از موضوعات اساسی و پر چالشی است که در چند سال اخیر مورد توجه محققان قرار گرفته است. تصاویر سنجش از دور مرئی شامل اهداف مکانی متنوعی هستند. این اهداف عموماً دستساز بشر بوده و دارای یک ساختار مشخص و متمایز از ناحیه اطراف خود هستند (همانند هوایپیماها، کشتی‌ها، مخازن و ...)<sup>[۱]</sup>. روش‌های مختلفی جهت شناسایی ععارض و اهداف مکانی ارائه شده است که مطابق دسته‌بندی صورت گرفته<sup>[۲]</sup>، این روش‌ها شامل: ۱- تناظریابی الگو<sup>[۲]</sup> ۲- روش‌های دانش پایه<sup>[۴]</sup> ۳- روش‌های شیء مبنا<sup>[۴]</sup> ۴- روش‌های آموزش مبنا<sup>[۵]</sup> ۶- هستند. یکی از مهم‌ترین وجه اشتراکات این روش‌ها استخراج و تطبیق ویژگی‌ها به منظور شناسایی اهداف مکانی است. این فرآیند در تحقیقات معمولاً با استفاده از رویکرد پنجره‌های جستجو اعمال می‌گردد<sup>[۶]</sup> در نتیجه درصورتی که این فرآیند بر روی کل تصویر اجرای شود؛ تبدیل به امری پرهزینه و زمان برخواهد شد. با توجه به محدودیت سرعت سخت افزارها، نیاز به ارائه روش‌های واسطه‌ای است تا زیرمجموعه‌هایی از اطلاعات تصویری و قابل دسترس را قبل از انجام پردازش‌های بیشتر شناسایی

<sup>۴</sup> Object-based

<sup>۵</sup> Machine learning

<sup>۶</sup> Feature

<sup>۷</sup> Segmentation

<sup>۱</sup> Geospatial target

<sup>۲</sup> Template matching

<sup>۳</sup> Knowledge based

سان<sup>۶</sup> و همکاران در زمینه شناسایی اهداف از تصاویر سنجش از دور از یک پنجره‌ی جستجو در کل تصویر استفاده نموده و با استخراج و توصیف عوارض موضعی و تشکیل کتابخانه‌ای از کد<sup>۷</sup> اقدام به شناسایی اهداف مکانی نمودند [۶]. این رویکرد با توجه به استفاده از پنجره‌ی جستجو در کل تصویر هزینه‌ی محاسباتی فراوانی را در پی دارد.

با درنظر گرفتن ویژگی‌های بیان شده برای الگوریتم‌های آشکارسازی عوارض موضعی، این الگوریتم‌ها قادرند آن نواحی از تصویر را، که نسبت به همسایگی خود متفاوت هستند، استخراج کنند. با توجه به ویژگی‌های اهداف مکانی، این الگوریتم‌ها قابلیت شناسایی اهداف مکانی را خواهند داشت؛ اما در صد زیادی از نواحی استخراج شده دارای محتوای اطلاعاتی مناسبی از لحاظ بارز بودن و تمایز نیستند؛ به طوری که در راستای شناسایی مناطق بارز تصویری قرار نخواهند گرفت.

انسان‌ها دارای توانایی قابل توجهی به منظور تفسیر صحنه‌های پیچیده به صورت آنی هستند؛ به‌طوری که در یک تصویر، عوارضی را که از لحاظ بصری قابل توجه باشند، به سرعت و با دقت بالایی شناسایی می‌کنند. این عوارض غالباً به صورت پیش‌زمینه<sup>۸</sup> در تصاویر نمایان هستند که به عنوان عوارض برجسته<sup>۹</sup> شناخته می‌شوند؛ به‌طوری که توجه ما بر روی این مناطق مهم جلب می‌شود.

در همین راستا مدل‌های برجستگی تصویر<sup>۱۰</sup> ارائه شد تا این توانایی انسان را در غالب پردازش‌های تصویری شبیه‌سازی کنند. مدل‌های محاسباتی برجستگی تصویر با هدف پیش‌بینی موقعیت اهداف در تصویر مورد مطالعه قرار گرفته‌اند. این مدل‌ها به‌طور کلی فرض می‌کنند، موقعیت‌هایی که در زمینه‌های بصری از

مجموعه محدود از موقعیت‌های مناسب و منحصر به فرد با استحکام بالا در اختیار قرار می‌گیرد. عوارض در این دسته، زمانی نمایش داده می‌شود که موقعیت مکانی آنها با دقت بالا استخراج و در یک فرآیند تکراری به پایداری برسد. این دسته از تقسیم‌بندی برای انجام عملیات تناظریابی، ردیابی، کالیبراسیون دوربین و مدل‌سازی سه بعدی که نیاز به دقت بالایی دارند، مناسب است [۱۵].

دستهٔ بعدی را می‌توان به عنوان نمایشگر تصویری پایدار نام برد که امکان شناسایی عوارض و یا محیط را بدون نیاز به قطعه‌بندی فراهم می‌آورد. در این دسته، تعیین دقیق موقعیت مکانی عوارض، اهمیتی ندارد؛ زیرا هدف آن‌ها فرآیندی همچون تناظریابی نیست که نیازمند دقت بالایی باشد؛ بلکه هدف تجزیه و تحلیل آماری آن‌ها است. از کاربردهای این دسته می‌توان به طبقه‌بندی محیط<sup>۱</sup>، آنالیز بافت<sup>۲</sup>، بازیابی تصویر<sup>۳</sup> و تفسیر ویدئویی<sup>۴</sup> اشاره نمود [۱۵].

یکی از اصلی‌ترین قابلیت‌های الگوریتم‌های آشکارسازی عوارض موضعی پایدار بودن در برابر تغییرات روش‌نایابی و تبدیلات هندسی است که موجب به کارگیری آن در کاربردهای مختلف می‌شود. در سال ۲۰۱۰ سیرماچک<sup>۵</sup> و همکاران، عوارض موضعی را با استفاده از فیلتر گابور استخراج کردند و از این عوارض برای رأی دهی به مناطق شهری کاندید بهره‌بردن و درنهایت یک تصمیم‌گیری بهینه با توجه به توزیع رأی‌ها جهت شناسایی مناطق شهری از تصاویر هوایی انجام دادند [۱۶]. صداقت و همکاران، به منظور شناسایی تغییرات مناطق شهری در تصاویر ماهواره‌ای بزرگ‌مقیاس، از عوارض موضعی استفاده نمودند که شامل سه مرحله استخراج عوارض، تنباطر یابی عوارض استخراج شده و تشکیل ماتریس تشابه است [۱۲].

<sup>۱</sup> Scene classification

<sup>۲</sup> Texture analysis

<sup>۳</sup> Image retrieval

<sup>۴</sup> Video mining

<sup>۵</sup> Sirmaçek

<sup>۶</sup> Sun

پیکسل‌های پیش‌زمینه و مقادیر صفر برای پیکسل‌های پس‌زمینه در تصویر، شناسایی برجستگی را به عنوان یک مسئله ناحیه‌بندی در نظر گرفتند. در همین راستا آچانتا و همکاران به منظور شناسایی برجستگی تصویر، روش کم کردن رنگ میانگین از تصویر فیلتر شده پایین‌گذر<sup>۷</sup> را پیشنهاد نمودند [۲۴]. لی یو و همکاران، به منظور ترکیب تمایز چند مقایسه و تمایز محلی مبتنی بر همسایگی، پس‌زمینه‌ی تصویر و توزیع مکانی رنگ یک چارچوبی به نام *CRF*<sup>۸</sup> تعریف کردند و مقادیر برجستگی را به دست آوردند [۲۵]. جوفرمن<sup>۹</sup> و همکاران، به منظور ادغام نمودن پس‌زمینه کلی تصویر، از رویکرد مبتنی بر تکه‌های تصویری<sup>۱۰</sup> باهدف شناسایی نواحی تصویر استفاده نمودند [۲۶]. چنگ<sup>۱۱</sup> و همکاران، یک روش مبتنی بر تمایز ناحیه‌ای را جهت اندازه‌گیری تمایز کلی در فضای رنگی  $L^*a^*b^*$  ارائه کردند [۲۷]. جی یانگ<sup>۱۲</sup> و همکاران با استفاده از اختلاف بین هیستوگرام رنگ‌ها از یک ناحیه و نواحی همسایگی آن مقادیر برجستگی را جهت تولید نقشه‌ی برجستگی اندازه‌گیری نمودند [۲۸]. شن<sup>۱۳</sup> و همکاران یک تصویر را به صورت ماتریسی با مرتبه پایین (پس‌زمینه) و نویزهای پراکنده (مناطق برجسته) را در یک فضای ویژگی مدل نمودند [۲۹]. اخیراً مارگولینو<sup>۱۴</sup> و همکاران تمایز رنگ و الگو را با نشانه‌های سطح بالا ادغام کرده و با استفاده از یک تکه تصویری، میزان برجستگی تصویر را محاسبه نمودند [۳۰]. با این حال اکثر روش‌های شناسایی مناطق برجسته موجود، بر روی تصاویر معمولی که تصاویر سنجش‌از دوری نیستند؛ اعمال شده‌اند. همان‌طور که بیان شد تصاویر سنجش‌از دور مرئی شامل اهداف و

پس‌زمینه‌هایشان متمايزند؛ با احتمال بسیار بالای عوارض مورد نظر خواهند بود. محصولات الگوریتم‌های برجستگی شامل یکسری نقشه‌های پیوسته است که با استفاده از ویژگی‌های رنگ، شدت، جهت، فرکانس و...، مقادیر برجستگی<sup>۱</sup> را در یک تصویر محاسبه می‌کنند. در واقع تعیین مناطق برجسته<sup>۲</sup> در این رویکرد به گونه‌ای است که نواحی پیش‌زمینه از نواحی پس‌زمینه خود مجزا شوند [۱۷] که در عمل به عنوان یک مرحله اولیه از کاربردهای متنوع ماشین بینایی شامل ناحیه‌بندی عارضه مبنا [۱۸]، شناخت عوارض [۱۹]، فشرده‌سازی تصاویر [۲۰]، ویرایش محتوای تصویر [۲۱]، بازیابی تصویر [۲۲] و غیره به کار گرفته شوند.

یکی از اولین مدل‌های ارائه شده در زمینه شناسایی مقادیر برجستگی در تصاویر، توسط ایتی<sup>۳</sup> و همکاران در سال ۱۹۹۸ پیشنهاد شد. این مدل از نوع مدل‌های پایین به بالا<sup>۴</sup> که مبتنی بر ویژگی‌های سطح پایین نظیر رنگ، شدت، جهت و... هستند، ارائه شده است. ایتی و همکاران نمونه‌هایی را ارائه نمودند که نشان دهنده قابلیت مدل آنها در شناسایی مکان‌های متمايز در صحنه‌های مختلف است [۲۳]. موج دوم توجه محققان به مدل‌های برجستگی تصویر با تحقیقات آچانتا<sup>۵</sup> و همکاران [۲۴] در سال ۲۰۰۹ و تحقیقات لی یو<sup>۶</sup> و همکاران [۲۵] در سال ۲۰۱۱ پدیدار شد. این روش‌ها جهت شناسایی مناطق بارز در تصاویر معمولی، الگوریتم‌های قطعه‌بندی را روی تصاویر، پیاده سازی کردند و با محاسبه مقادیر برجستگی در کل تصویر، قطعاتی را که به عنوان قطعات بارز به شمار می‌روند؛ شناسایی کردند. آنها با اختصاص مقادیر یک برای

<sup>10</sup> Patch<sup>11</sup> Chang<sup>12</sup> Jiang<sup>13</sup> Shen<sup>14</sup> Margolin<sup>1</sup> Saliency value<sup>2</sup> Salient areas<sup>3</sup> Itti<sup>4</sup> Bottom-up<sup>5</sup> Achanta<sup>6</sup> Liu<sup>7</sup> low pass<sup>8</sup> Condition Random Field<sup>9</sup> Goferman

است که اقدامات صورت گرفته در این تحقیق موجب شناسایی آنی اهداف مکانی نخواهد شد؛ بلکه در راستای افزایش سرعت و دقت فرآیند شناسایی اهداف مکانی است. در این تحقیق از خصوصیات عوارض موضعی و الگوریتم آشکارساز نواحی تصویر *MSER* استفاده شده است. مهم‌ترین قابلیت‌های این نوع از الگوریتم‌ها در کاربردهایی نظیر شناسایی عوارض یا محیط، عدم استفاده از قطعه‌بندی در تصاویر است. همان‌طور که اشاره شد در برخی از تحقیقات از خصوصیات الگوریتم قطعه‌بندی در شناسایی مناطق بارز تصویری استفاده شده است؛ به طوری که این الگوریتم‌ها غالباً با محاسبه فاصله تک‌تک پیکسل‌های تصویر در فضای ویژگی، تصویر را به قطعات مختلف تفکیک می‌نماید که هزینه‌ی محاسباتی فراوانی را در پی دارد. از طرفی این الگوریتم‌ها هیچ‌گونه تقسیم‌بندی از لحاظ بارز بودن انجام نمی‌دهند. بر همین اساس در این تحقیق استفاده از الگوریتم *MSER* با رویکرد استفاده از الگوریتم قطعه‌بندی مورد مقایسه قرار می‌گیرد. در ادامه یک معیار با استفاده از مقادیر بر جستگی به دست آمده از الگوریتم‌های موجود تعیین می‌شود و مناطق با احتمال بالای وجود اهداف شناسایی می‌شوند. در بخش بعدی الگوریتم آشکارساز نواحی تصویری مورد استفاده در این تحقیق تشریح می‌شود. سپس در بخش سوم الگوریتم‌های به کار گرفته شده جهت تولید نقشه‌های بر جستگی بیان خواهد شد. در بخش چهارم جزئیات روش پیشنهادی شرح داده می‌شود. در بخش پنجم نتایج پیاده‌سازی بیان و مورد بحث قرار می‌گیرد و درنهایت در بخش ششم نتیجه‌گیری و پیشنهادات ارائه خواهد شد.

## ۲- استخراج عوارض

برای استخراج عوارض موضعی الگوریتم‌های مختلفی ارائه شده است که می‌توان آن‌ها را بر اساس نوع عارضه شناسایی شده به سه دسته‌ی کلی الگوریتم‌های

عوارض متنوعی هستند که به عنوان مناطق بارز با نواحی پیرامون خود در تمايزند. این ویژگی نشان می‌دهد مدل‌های محاسباتی بصری قابلیت استفاده جهت شناسایی آنها را دارند. اخیراً تحقیقاتی صورت گرفته [۳۱ و ۳۲] که در آن‌ها مدل‌های بر جستگی تصویر را جهت آنالیز تصاویر سنجش‌ازدor استفاده کرده‌اند. به عنوان مثال لی<sup>۱</sup> و همکاران ویژگی‌های بر جستگی را با ویژگی‌های اصلی ترکیب نموده و قطعات کوچک تصویری را با برچسب وجود و یا عدم وجود اهداف در آنها طبقه‌بندی نمودند [۳۲]. سان<sup>۲</sup> و همکاران در سال ۲۰۱۰ و بی<sup>۳</sup> و همکاران در سال ۲۰۱۲ به طور مستقیم مدل‌های بر جستگی موجود را، که برای تصاویر معمولی تولید شده‌اند، به ترتیب جهت شناسایی کشتی‌ها و مناطق بارز از تصاویر سنجش‌ازدor به کار برده‌اند [۳۱ و ۳۳]. هان<sup>۴</sup> و همکاران در سال ۲۰۱۴ الگوریتم‌های بر جستگی تصویر را برای کاهش فضای جستجو در فرآیند شناسایی اهداف مکانی بکار برند [۱]. آنها برای این منظور از انواع مختلفی از الگوریتم‌های بر جستگی استفاده کرده و با ایجاد یک مدل آموزشی، مناطقی از تصویر را، که اهداف با احتمال بالا در آنها وجود دارند، شناسایی کرند و فرآیند تشخیص اهداف مکانی را انجام دادند. این آثار نشان می‌دهند که امکان استفاده از مدل‌های بر جستگی تصویر برای تحلیل تصاویر سنجش‌ازدor وجود دارد. با توجه به قابلیت‌های ذکر شده برای الگوریتم‌های آشکارسازی عوارض موضعی و نیز مدل‌های بر جستگی تصویر، ترکیب این دو مدل کمک شایانی در زمینه شناسایی مناطق بارز تصویر خواهد نمود که منجر به افزایش سرعت و دقت فرآیند شناسایی عوارض و اهداف با توجه به خصوصیات بیان شده برای آنها می‌شود.

هدف از این تحقیق ارائه روشی کارآمد جهت تعیین مناطق محتمل از وجود اهداف مکانی است. قبل ذکر

<sup>3</sup> Bi

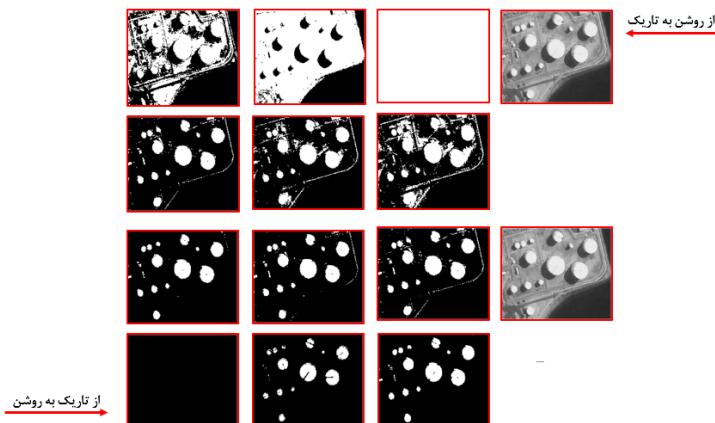
<sup>4</sup> Han

<sup>1</sup> Li

<sup>2</sup> Sun

کار بهاین صورت است که با انتخاب حد آستانه‌های مختلف، تصاویر باینری متفاوت از تصویر اصلی ایجاد می‌شود. آن نواحی از تصویر، که طی فرآیند حد آستانه‌گذاری کمترین تغییر در آن‌ها ایجاد شود، به عنوان نواحی پایدار شناسایی می‌شوند. در اغلب الگوریتم‌های مستقل از افاین، شکل خروجی به صورت یک بیضی است. حال آنکه الگوریتم *MSER* نواحی نامنظمی از تصویر را استخراج می‌کند. با توجه به مومنت<sup>۴</sup>‌های اول و دوم می‌توان این شکل نامنظم را با یک بیضی جایگزین نمود. شکل (۱) فرآیند حد آستانه‌گذاری را برای یک تصویر ماهواره‌ای در فرایند استخراج عوارض *MSER* نشان می‌دهد. دقت این الگوریتم در تعیین موقعیت عوارض تصویری نسبت به الگوریتم‌های استخراج‌کننده حباب‌های تصویر بیشتر است و همچنین سرعت این الگوریتم در شناسایی عوارض تصویری بسیار بالاست [۳۵].

شناسایی گوشه، شناسایی حباب‌های تصویری و الگوریتم‌های استخراج نواحی تصویری تقسیم‌بندی نمود [۱۵]. با توجه به هدف تحقیق که در ارتباط با شناسایی نواحی در تصویر است، الگوریتم‌های آشکارسازی نواحی تصویری مورد استفاده قرار خواهند گرفت. نواحی استخراج شده در این الگوریتم‌ها، ساختارهای تصویری هستند که در هر یک از آن‌ها ویژگی پیکسل‌ها با یکدیگر مشابه بوده و با پیکسل‌های خارج از ناحیه متفاوت است و به صورت مرزهای بسته نمایان می‌شوند. در تحقیقات صورت گرفته توسط میکولاچزیک<sup>۱</sup> و همکاران [۳۴] الگوریتم [۳۵]<sup>۲</sup> به عنوان کارآمدترین الگوریتم مستقل از افاین<sup>۳</sup> معروفی شده است. اساس این روش بر مبنای حد آستانه‌گذاری روی تصاویر است؛ به طوری که تمام پیکسل‌های درون نواحی شناسایی شده توسط این الگوریتم دارای درجات خاکستری بیشتر و یا کمتر از پیکسل‌های خارج از مرز این نواحی هستند. ایده اصلی



شکل ۱: روش حد آستانه‌گذاری (روشن به تاریک و تاریک به روشن) جهت استخراج عوارض *MSER*.

شگفت‌انگیز تمرکز انسان بر روی اشیا و عوارض در یک صحنه و استفاده از آنها به منظور پردازش‌ها در سطوح بالاتر است. در نتیجه به موجب اعمال این مدل‌ها روی تصاویر پردازش‌های سنگین جهت شناسایی مناطق و

### ۳- مدل برجستگی تصویر

مدل‌های برجستگی تصویر اخیراً توجه بسیاری از محققان را در زمینه‌ی ماشین‌بینایی به خود جلب کرده است؛ به طوری که هدف از آنها شبیه‌سازی قابلیت

<sup>4</sup> Moment

<sup>1</sup> Mikolajczyk

<sup>2</sup> Maximally Stable Extremal Region

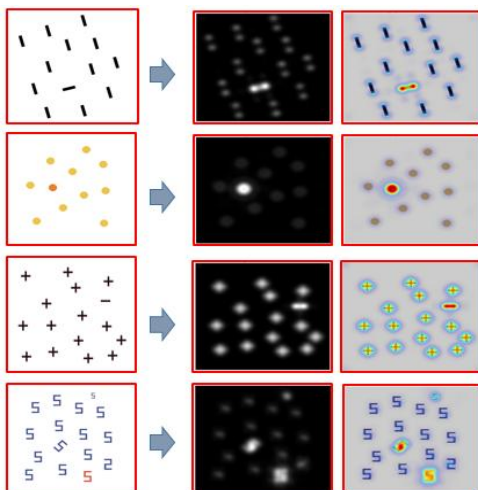
<sup>3</sup> Affine

تشخیص می‌دهند. ۲) مدل‌های بالا به پایین که با عوامل شناختی سطح بالاتری سروکار دارند و معیار انتخاب، وابسته به کاری است که باید انجام شود. این مدل‌ها اغلب مبتنی بر یافتن هدف خاص هستند و از دانش اولیه شی هدف استفاده می‌کنند.

در میان الگوریتم‌های متنوع تعیین برجستگی در تصویر مدل AWS<sup>۱</sup> [۳۶] و WMAP<sup>۲</sup> [۳۷] بروی مجموعه داده‌های مختلف نتایج بسیار مناسبی را ارائه نموده است [۳۹].

اهداف مدنظر کاهش خواهد یافت. شکل (۲) نتایج اعمال الگوریتم‌های برجستگی بر روی برخی از پدیده‌های فیزیکی را نشان می‌دهد که در آن عوارض متمايز در حوزه‌های جهت، رنگ و تقارن شناسایی شده‌اند.

مدل‌های توجه بصری به طور کلی به دو دسته تقسیم می‌شوند: ۱) مدل‌های پایین به بالا که مبتنی بر ویژگی‌های سطح پایین نظیر رنگ، شدت، جهت، فرکانس و... هستند. این مدل‌ها آن نواحی را که ویژگی‌های متفاوتی از محیط اطرافشان دارند، برجسته



شکل ۲: نتایج اعمال مدل برجستگی تصویر بر روی برخی پدیده‌های فیزیکی، سطر اول: شناسایی ناهمگونی در حوزه جهت سطر دوم: شناسایی ناهمگونی در حوزه رنگ. سطر سوم: شناسایی وجود تقارن و یا عدم وجود تقارن سطر چهارم: شناسایی تمایزها در حوزه جهت رنگ و مقیاس [۳۳]

داده‌ها، مورد استفاده قرار می‌گیرد. رشتۀ سفید شده دارای میانگین صفر، واریانس یک و همبستگی صفر است. شکل (۳) جزئیات مرتبط با این مدل را نشان می‌دهد.

رویکرد این مدل از سه بخش کلی تشکیل شده است:  
۱- تجزیه مؤلفه‌های رنگی و اعمال فرآیند سفید کردن.  
۲- تجزیه مؤلفه‌های سفید شده به چندین جهت و مقیاس و اعمال فرآیند سفید کردن بر هر یک از آنها.  
۳- محاسبه برجستگی تصویر.

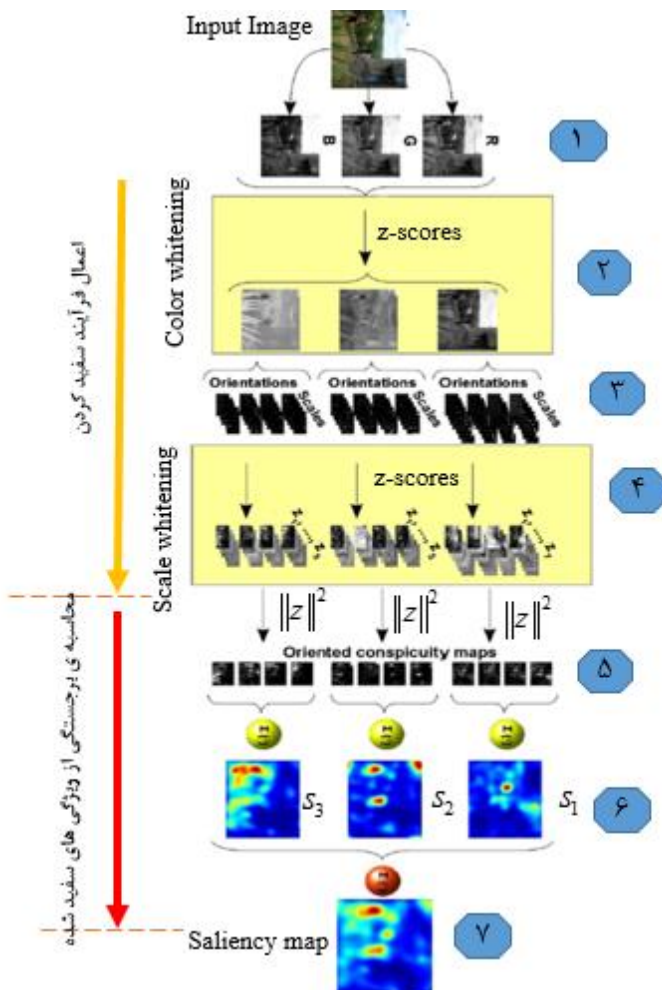
### AWS-۱-۳ مدل

اساس روش AWS مبتنی بر تجزیه سلسله مراتبی تصویر است. در این مدل مؤلفه‌های رنگی از یکدیگر جدا شده و هر کدام از آنها به چندین جهت و مقیاس تجزیه می‌شوند. تمایزات در این مدل با محاسبه نرم بردار در یک سیستم مختصات تبدیل یافته محاسبه می‌گردد. این تبدیل با اعمال فرآیند سفید کردن<sup>۳</sup> صورت می‌پذیرد که برای ناهمبسته نمودن رشتۀای از

<sup>۳</sup> Whitening

<sup>۱</sup> Adaptive Whitenning Saliency

<sup>۲</sup> Weighted Maximum Phase Alignment



شکل ۳: نمودار تشکیل نقشه بر جستگی توسط روش AWS [۳۸]

به دست خواهد آمد.  
در گام سوم، الگوریتم برای هر مؤلفه رنگی سفید شده، نمایشی از ساختار مکانی را توسط اندازه‌گیری انرژی محلی<sup>۱</sup> در چندین جهت و مقیاس ارائه می‌دهد. در این مدل برای محاسبه انرژی محلی از فیلتر لابلسین گوسن گابور<sup>۲</sup> استفاده شده است. این فیلتر بهبود یافته فیلتر گابور است که نسبت به آن برازش مناسب‌تری روی داده‌های حاصل از تصاویر معمولی دارد[۴۰]. هر مؤلفه رنگی سفید شده توسط فیلتر لابلسین گوسن

با توجه به شکل(۳)، در ابتدا تصاویر به سه مؤلفه ( $R, G, B$ ) تجزیه شده‌اند. به دلیل وجود همبستگی بین مؤلفه‌ها، فرآیند سفید کردن بر هر مؤلفه به صورت مجزا اعمال گردیده است. در نتیجه مختصات  $RGB$  هر پیکسل به صورت برداری با مؤلفه‌های ( $Z1, Z2, Z3$ ) نمایش داده می‌شود. در این حالت ماتریس کوواریانس بین مؤلفه‌ها یکه و واریانس آنها یک خواهد شد. در این مرحله با محاسبه نرم بردار تولیدی که به صورت فاصله هر نقطه رنگی تا رنگ میانگین است، تمایزی از رنگ

<sup>1</sup> Local energy<sup>2</sup> Log Gabor

یک رویکرد فیلتر مبنا با نام سفید کردن طیفی<sup>۲</sup> حذف می‌شود. این فیلتر تبدیل فوریه‌ای از تصویر ورودی را نرم‌الایز می‌کند که باعث دست‌یابی به الگوهای تکراری کمتری می‌شود. در بخش دوم با محاسبه فاز محلی<sup>۳</sup> ویژگی‌هایی از تصویر به دست می‌آید و نمایش اولیه‌ای از تصویر، ارائه می‌شود. در این بخش به منظور محاسبه فاز، هرسیگنانل به فضای مقیاس مونوژنیک<sup>۴</sup> نگاشت می‌شود. در ادامه ماکریتم فاز هر سیگنانل در میان مقیاس‌های مختلف محاسبه شده و نمایشی از تصویر ارائه می‌شود. در بخش نهایی با ادغام نمودن تمامی اندازه‌گیری‌های انجام‌شده در هر سه باند رنگی و اعمال فیلتر گوسین، نقشه‌های برجستگی نهایی تولید می‌شود.

#### ۴- روش پیشنهادی جهت تعیین مناطق بارز تصویر

در این قسمت جزئیات روش پیشنهادی جهت شناسایی مناطق بارز در تصاویر ماهواره‌ای ارائه می‌شود. در شکل(۵) نمایشی از نحوه عملکرد الگوریتم پیشنهادی به طور کلی نشان داده شده است که در آن پس از ورود تصاویر الگوریتم نقشه‌های برجستگی تولید شده و با استفاده از الگوریتم‌های آشکارسازی عوارض موضعی نواحی تصویری استخراج می‌شود و در نهایت نواحی که از میزان برجستگی بالاتری در تصویر بهره‌مند باشند؛ به عنوان مناطق هدف برگزیده می‌شوند.

اساس روش پیشنهادی بر مبنای شناسایی نواحی تصویری عوارض موضعی و تولید نقشه‌های برجستگی است. الگوریتم‌های استخراج عوارض موضعی می‌توانند الگوهای تصویر متمايز را نسبت به همسایگی نزدیک خود استخراج کنند؛ اما ممکن است این تمایز در مقایسه با تمام تصویر بسیار ضعیف بوده و قابل صرف نظر باشد. بنابراین استفاده از این الگوریتم به تنها یکی از بیانیه‌ای جهت شناسایی مناطق بارز تصویر در پی نخواهد داشت. همان‌طور که در بخش قبلی اشاره شد؛ نقشه‌های برجستگی می‌تواند به منظور پیش‌بینی

گابور به چندین جهت و مقیاس تجزیه می‌شود. در این مدل تصاویر به چهار جهت ( $0^\circ, 45^\circ, 90^\circ, 135^\circ$ )، هفت مقیاس برای  $Z_1$  و پنج مقیاس برای دو مؤلفه دیگر ( $Z_2$  و  $Z_3$ ) تجزیه شده است. مطابق رابطه(۱) انرژی محلی برای جهت‌ها و مقیاس‌های مختلف محاسبه می‌شود.

$$e_{\cos} = \sqrt{(z_c * f_{os})^2 + (z_c * h_{os})^2} \quad \text{رابطه(1)}$$

در این رابطه، پارامتر  $c$  نشان دهنده شاخص هر مؤلفه رنگی سفید شده است.  $Z_c$  نمایشی از مؤلفه‌های رنگی سفید شده در گام دوم هستند و پارامترهای  $f$  و  $h$  به ترتیب قسمت حقیقی و موهومی فیلتر لاپلاسین گوسن گابور هستند که برای هر جهت  $\theta$  و مقیاس  $s$  به دست می‌آیند. با محاسبه انرژی محلی، نمایشی متمایز برای هر مؤلفه سفید شده در چندین جهت و مقیاس ارائه می‌شود. در ادامه به منظور حذف همبستگی بروی هریک از مؤلفه‌های به دست آمده، تبدیل سفید کردن اعمال می‌شود. در بخش بعدی میزان برجستگی هر پیکسل از مجموع نرم مربعات بردارها در نمایش جدید، محاسبه می‌گردد که برآورده از پیکسل‌های متمایز هستند. با ادغام مقادیر برجستگی در تمامی جهت‌ها، نقشه برجستگی برای هر مؤلفه رنگی محاسبه می‌شود. در نهایت با ادغام نقشه برجستگی تمامی مؤلفه‌ها، نقشه برجستگی نهایی به دست می‌آید.

#### ۲-۳ - مدل WMAP

مدل WMAP یک مدل برجستگی پایین به بالا است که از ۳ بخش کلی تشکیل شده است. شکل(۴) نمودار تولید نقشه برجستگی تصویر توسط مدل WMAP را نشان می‌دهد. هدف اصلی در مرحله اولیه این مدل حذف اطلاعات اضافی است. برای این منظور تصویر در فضای RGB توسط الگوریتم تحلیل اجزای اصلی<sup>۱</sup> به سه کanal با کمترین وابستگی تجزیه می‌شود. اطلاعات اضافی پیکسل‌ها در میان هر مؤلفه رنگی با استفاده از

<sup>1</sup> PCA

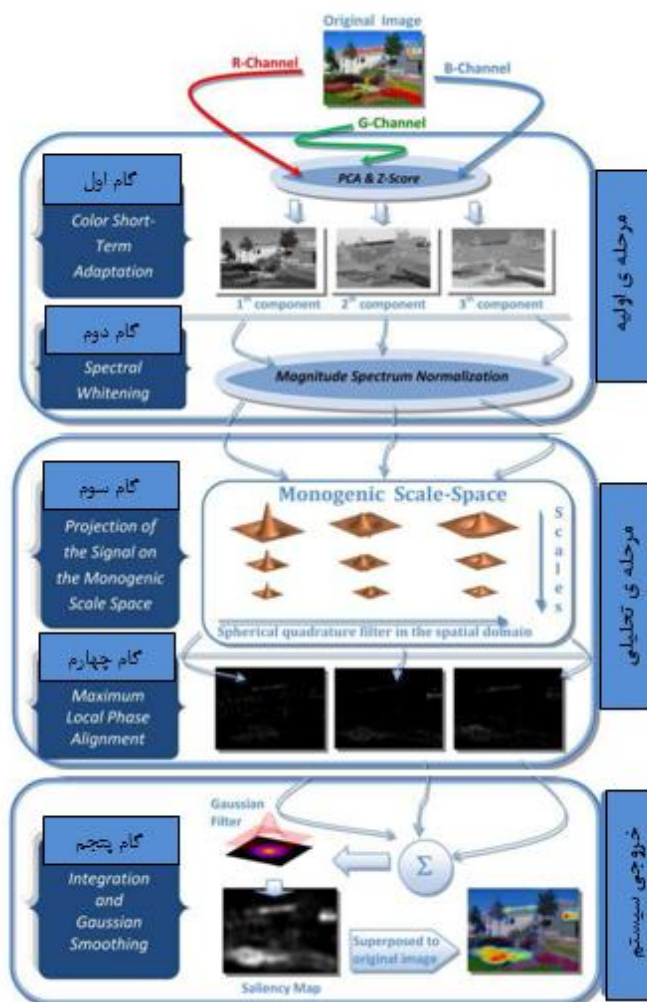
<sup>2</sup> Spectral Whitening

<sup>3</sup> Local phase

<sup>4</sup> Monogenic

موضعی با عنوان مناطقی با احتمال بالای وجود اهداف مکانی بسیار کارآمد باشند.

موقعیتی از پتانسیل اهداف بارز استفاده شود؛ زیرا این اهداف در حالت کلی از پس زمینه خود متمایزند [۱]. درنتیجه این الگوریتم‌ها می‌توانند در شناسایی نواحی استخراج شده توسط الگوریتم‌های آشکارسازی عوارض



شکل ۴: نمودار تشکیل نقشه بر جستگی توسط روش WMAP [۳۸]

الگوریتم‌ها در زمینه تولید نقشه‌های بر جستگی در مجموعه داده‌های مختلف معروفند، استفاده می‌شود [۳۹]. پس از اعمال این دو مدل بر روی تصاویر

در این تحقیق با توجه به پیچیدگی تصاویر سنجش از دور از دو مدل ارائه شده توسط گارسیا<sup>۱</sup> و همکاران با نام‌های AWS و WMAP که به عنوان یکی از کارآمدترین

<sup>۱</sup> Garcia

محاسبه شده توسط دو مدل *WMAP* و *AWS* برای هر پیکسل در ناحیه استخراج شده  $i$  و مقادیر  $m$  تعداد پیکسل‌های موجود در هر ناحیه هستند.

در میان نواحی استخراج شده تنها آن‌هایی که مقادیر برجستگی‌شان بزرگ‌تر از یک حد آستانه باشد؛ به عنوان مناطق بارز حفظ و سایر نواحی حذف می‌شوند. این حد آستانه مطابق با مقادیر برجستگی به دست آمده از کل تصویر، برای هر یک از مدل‌های برجستگی به صورت مجزا محاسبه می‌شود. رابطه (۴) نحوه محاسبه حد آستانه را نشان می‌دهد [۲۴]:

$$ST = \frac{k}{n} \sum_{i=1}^n S_i \quad (4)$$

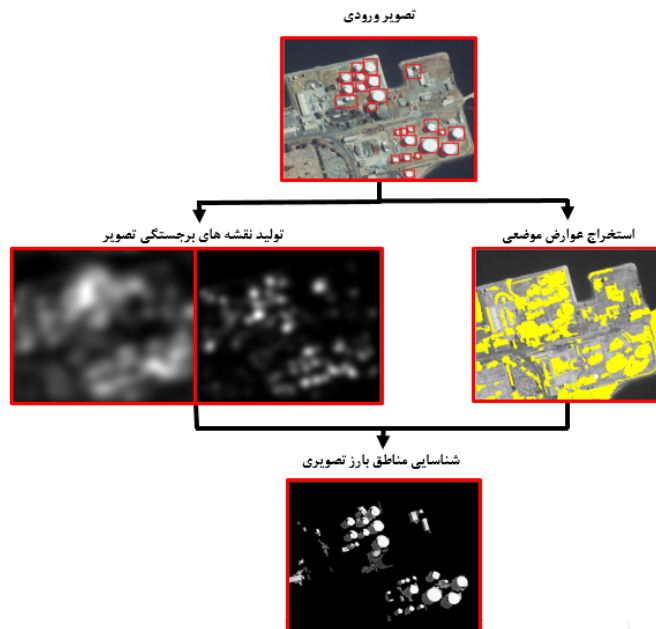
در این رابطه،  $n$  تعداد کل پیکسل‌های موجود در تصویر، ضریب ثابتی که مطابق پیشنهاد هان و همکاران [۱] برابر  $1/6$  تنظیم شده و  $S_i$  مقادیر برجستگی محاسبه شده از تصویر برای هر پیکسل است.

خروجی رادیومتریکی، آنها را هم مقیاس کرده و از هر دوی این مدل‌ها به عنوان نقشه‌های برجستگی در فرآیند شناسایی استفاده می‌گردد. به منظور استخراج عوارض موضعی به صورت نواحی تصویری، الگوریتم آشکارساز *MSER* بر روی تصویر اعمال می‌شود و نواحی نامنظمی با عنوان نواحی اولیه *MSER* استخراج می‌شود. در صورتی که تصویر  $I$  را به عنوان ورودی به الگوریتم معروفی کنیم؛  $n$  نواحی منتخب استخراج شده توسط *MSER* در تصویر هستند و مقادیر برجستگی به دست آمده توسط مدل‌ها برای یک ناحیه از روابط (۲) و (۳) محاسبه می‌شود.

$$Sa_i = \frac{1}{m} \sum_{j=1}^m Sar_{ij} \quad (2)$$

$$Sw_i = \frac{1}{m} \sum_{j=1}^m Swr_{ij} \quad (3)$$

در روابط (۲) و (۳)،  $Sar$  و  $Swr$  مقادیر برجستگی



شکل ۵: مراحل روش پیشنهادی جهت شناسایی مناطق بارز تصویر

- گام اول: اعمال الگوریتم *MSER* جهت آشکارسازی عوارض موضعی بر روی تصویر؛
- گام دوم: اعمال الگوریتم *AWS* و *WMAP* به منظور تولید نقشه‌های برجستگی از تصویر؛

به طور خلاصه فرآیند پیشنهاد شده در این مقاله به منظور شناسایی مناطق بارز تصویر با استفاده از ترکیب عوارض موضعی استخراج شده و نقشه‌های برجستگی تولید شده به صورت زیر است:

مربوط با آن را نشان می‌دهد.  
به منظور ارزیابی کمی مناطق شناسایی شده در تصویر از دو معیار مطابق با روابط ۵ و ۶ بهره گرفته شد [۱].  
معیار اول: نسبت تعداد اهداف مکانی صحیحی که در مناطق شناسایی شده وجود دارند؛ به تعداد کل اهداف مکانی موجود در تصویر است.  
معیار دوم: نسبت اختلاف مساحت مناطق شناسایی شده و مساحت اهداف صحیح شناسایی شده، به کل پیکسل‌های موجود در تصویر است.

$$\text{رابطه (۵)} \quad \frac{T_p}{N} = \text{معیار اول}$$

$$\text{رابطه (۶)} \quad \frac{A_d - A_T}{A} = \text{معیار دوم}$$

در رابطه (۵) مقادیر  $T_p$  برابر تعداد اهداف مکانی صحیحی است که مراکز آنها در مناطق شناسایی شده واقع هستند،  $N$  تعداد کل اهداف مکانی موجود در تصویر است که توسط کاربر از پیش تعريف شده و نشانه‌گذاری شده‌اند. در رابطه (۶) مقادیر  $A_d$  برابر مساحت مناطق شناسایی شده،  $A_T$  مساحت اهداف صحیح شناسایی شده در تصویر است به طوریکه مساحت آنها توسط کاربر ماسک شده‌اند و  $A$  مساحت کل تصویر است. هر چه معیار اول بیشتر و معیار دوم کمتر باشد گویایی کیفیت مناسب در شناسایی مناطق بارز تصویر خواهد بود.

- گام سوم: محاسبه مقدار بر جستگی برای هر ناحیه استخراج شده مطابق روابط (۲) و (۳)؛
- گام چهارم: محاسبه  $ST$  بهوسیله قرار دادن نتایج گام دوم در رابطه (۴)؛
- گام پنجم: انتخاب مناطق بارز در صورتی که مقادیر  $(Sa_i \text{ or } Sw_i) > ST$  باشند.

#### ۵- پیاده‌سازی و ارزیابی نتایج

جهت پیاده‌سازی روش پیشنهادی، از نرم‌افزار متلب 2015 آی و کدهای توسعه داده شده جهت آشکارسازی عوارض موضعی و تولید نقشه‌های بر جستگی توسط نویسندهان  $MSER$  و  $WMAF$  [۳۹] و [۳۷ و ۳۶] AWS استفاده شده [۳۸] استفاده شده است. پارامترهای اولیه استفاده شده در هر کدام از این الگوریتم‌ها، پارامترهایی هستند که توسط نویسندهان پیشنهاد شده‌اند. در فرآیند پیاده‌سازی آشکارساز  $MSER$  از هر دو رویکرد حد آستانه گذاری روش‌شن-تیره و تیره-روشن با توجه به احتمال در برگیری اهداف مکانی در هر کدام از این رویکردها، استفاده می‌شود. با توجه به تک باندی بودن  $MSER$  روند حد آستانه گذاری در شناسایی عوارض تصاویر  $RGB$  به یک تصویر سیاه سفید تبدیل شده است. همچنین در مدل‌های تولید نقشه‌های بر جستگی برای تصاویر پانکروماتیک فرایند تجزیه چند مقیاسه تنها روی یک باند انجام پذیرفت. سایر قسمت‌های روش پیشنهادی مطابق با جزئیات بیان شده در بخش قبلی برنامه‌نویسی شده است. جدول (۱) لیست پارامترهای ورودی و مقادیر مورد استفاده برای آنها در این تحقیق نشان می‌دهد.

در این تحقیق عملکرد روش پیشنهادی در شناسایی مناطق بارز بر روی ۶ تصویر ماهواره‌ای از سنجنده‌های مختلف و ۶ تصویر گوگل ارث مورد بررسی قرار گرفت. میزان بی‌نظمی و تنوع عوارض موجود در تصاویر انتخابی متفاوت است؛ به طوری که برخی تصاویر دارای پس زمینهٔ یکنواخت و برخی دیگر دارای پس زمینهٔ شلوغ هستند. جدول (۲) لیست این تصاویر و جزئیات

جدول ۱: پارامترهای ورودی الگوریتم‌های مورد استفاده در این تحقیق

مقدار ورودی	نام الگوریتم	بخش
[۳۵] مطابق با	<i>MSER</i>	استخراج عوارض برجستگی تصویر
[۳۶] مطابق با	<i>AWS</i>	
[۳۸] مطابق با	<i>WMAP</i>	
عرض باند ۰/۱	انتقال میانگین	قطعه بندی

جدول ۲: مشخصات تصاویر مورداستفاده

شماره	نام سنجنده	ابعاد تصویر	باند طیفی	اندازه‌ی پیکسل	بارزترین پدیده‌ای موجود در تصویر
۱	<i>QuickBird</i>	۹۰۷×۴۷۸	پانکروماتیک	۰,۶	مخزن سوت
۲	<i>IKONOS</i>	۳۷۳×۳۸۷	پانکروماتیک	۱	هوایپما
۳	<i>IKONOS</i>	۴۲۱×۳۵۸	<i>RGB</i>	۱	مخزن سوت
۴	<i>SPOT</i>	۶۳۴×۴۹۵	<i>RGB</i>	۲	مخزن سوت
۵	<i>QuickBird</i>	۷۵۱×۵۵۳	<i>RGB</i>	۰,۶	هوایپما
۶	<i>SPOT</i>	۶۸۴×۶۳۱	<i>RGB</i>	۲	کشتی
۷-۱۲	<i>Google Earth</i>	۱۲۸۰×۷۲۰	<i>RGB</i>	-	مخزن سوت - هوایپما - کشتی

تحقیق به همراه اهداف مکانی مورد نظر را که با مستطیل‌های قرمز رنگ مشخص شده‌اند، نشان می‌دهد. ستون‌های «ب» و «ج» نقشه‌های برجستگی به دست آمده از اعمال الگوریتم‌های *AWS* و *WMAP* بر روی تصاویر است. ستون «د» بیانگر عوارض موضوعی استخراج شده توسط الگوریتم شناسایی نواحی تصویر *MSER* است. ستون «ه» خروجی الگوریتم پیشنهادی به عنوان مناطق بارز تصویر با احتمال بالای وجود اهداف مکانی را نشان می‌دهد و ستون‌های «و» و «ز» به ترتیب نتایج قطعه‌بندی و مناطق شناسایی شده به عنوان مناطق بارز تصویر توسط اعمال الگوریتم قطعه‌بندی انتقال میانگین است. همان‌طور که از نتایج بر می‌آید، الگوریتم انتقال میانگین در شناسایی مناطق بارز در تصاویری با پس زمینه‌های شلوغ که دارای مشابهت طیفی بین اهداف مکانی مورد نظر و پس زمینه تصویر هستند، با مشکل مواجه شده و مناطق

همان‌طور که در بخش اول بیان شده است، برخی از روش‌ها به منظور شناسایی مناطق بارز تصویر رویکرد قطعه‌بندی تصویر را مورد استفاده قرار داده‌اند. بر همین اساس ابتدا تصاویر به قطعات مختلفی تفکیک شده و با محاسبه مقادیر برجستگی در کل تصویر قطعاتی که به عنوان قطعات بارز به شمار می‌روند، شناسایی می‌گردند. در ادامه نتایج روش پیشنهادی با شناسایی می‌گردند. در ادامه نتایج روش پیشنهادی با رویکرد استفاده از قطعه‌بندی انتقال میانگین<sup>۱</sup> [۴۱]، جهت شناسایی مناطق بارز [۱۱، ۲۴]، مقایسه می‌شود. در رویکرد شناسایی مناطق بارز تصویر با استفاده از قطعه‌بندی، قطعه‌های به دست آمده، جایگزین نواحی *MESR* شده و سایر بخش‌ها مطابق روند اعمال شده در این تحقیق است. شکل (۶) نتایج حاصل از روش پیشنهادی و روش قطعه‌بندی انتقال میانگین با استفاده از هسته‌گوسی با پارامتر عرض باند ۱، را نشان می‌دهد. در شکل (۶) ستون «الف» تصاویر استفاده شده در این

<sup>۱</sup> Mean\_shift

شناسایی نموده است.

معیار دوم ارائه شده در جدول (۳)، نشان دهنده اختلاف بین مساحت‌های مناطق شناسایی شده و مساحت اهداف مکانی مورد نظر است. کمتر بودن این معیار در صورت وجود اهداف مورد نظر در مناطق شناسایی شده نشان دهنده کمتر شدن فضای تصویر مورد آزمایش جهت شناسایی اهداف مکانی خواهد بود. این معیار در تصاویر با پس‌زمینه‌های یکنواخت بسیار کوچک بوده و در تصاویر با پس‌زمینه‌های شلوغ‌تر افزایش می‌یابد. با توجه به این معیار شناسایی مناطق با احتمال بالای وجود اهداف مکانی در تصاویر با پس‌زمینه‌های شلوغ در روش پیشنهادی حالتی بسیار بهینه‌تر نسبت به روش انتقال میانگین ارائه نموده است. روش پیشنهادی از لحاظ مدت زمان محاسبات نیز مورد ارزیابی قرار گرفت. به این صورت که الگوریتم بر روی یک سیستم با پردازنده COR i7 و با سرعت پردازشی ۲۶ گیگاهرتز و حافظه ۶۰۰ گیگابایت اجرا شده است. شکل (۷) مدت زمان پردازش روش ارائه شده و روش قطعه‌بندی انتقال میانگین را، که هر دو با نرم‌افزار متلب ۲۰۱۵ آی پیاده سازی شده‌اند، نشان می‌دهد. نتایج بدست آمده از شکل (۷) نشان می‌دهد مدت زمان متوسط محاسبات در روش پیشنهادی برابر با ۲۲/۱۲۶ ثانیه است. و به دلیل زمان بر بودن فرآیند قطعه‌بندی این میزان برای روش قطعه‌بندی انتقال میانگین برابر ۸۰,۴۳ ثانیه می‌باشد که نشان می‌دهد روش پیشنهاد شده از نظر مدت زمان پردازش، حالت بسیار بهینه‌تری نسبت به رویکرد استفاده از الگوریتم‌های قطعه‌بندی ارائه نموده است.

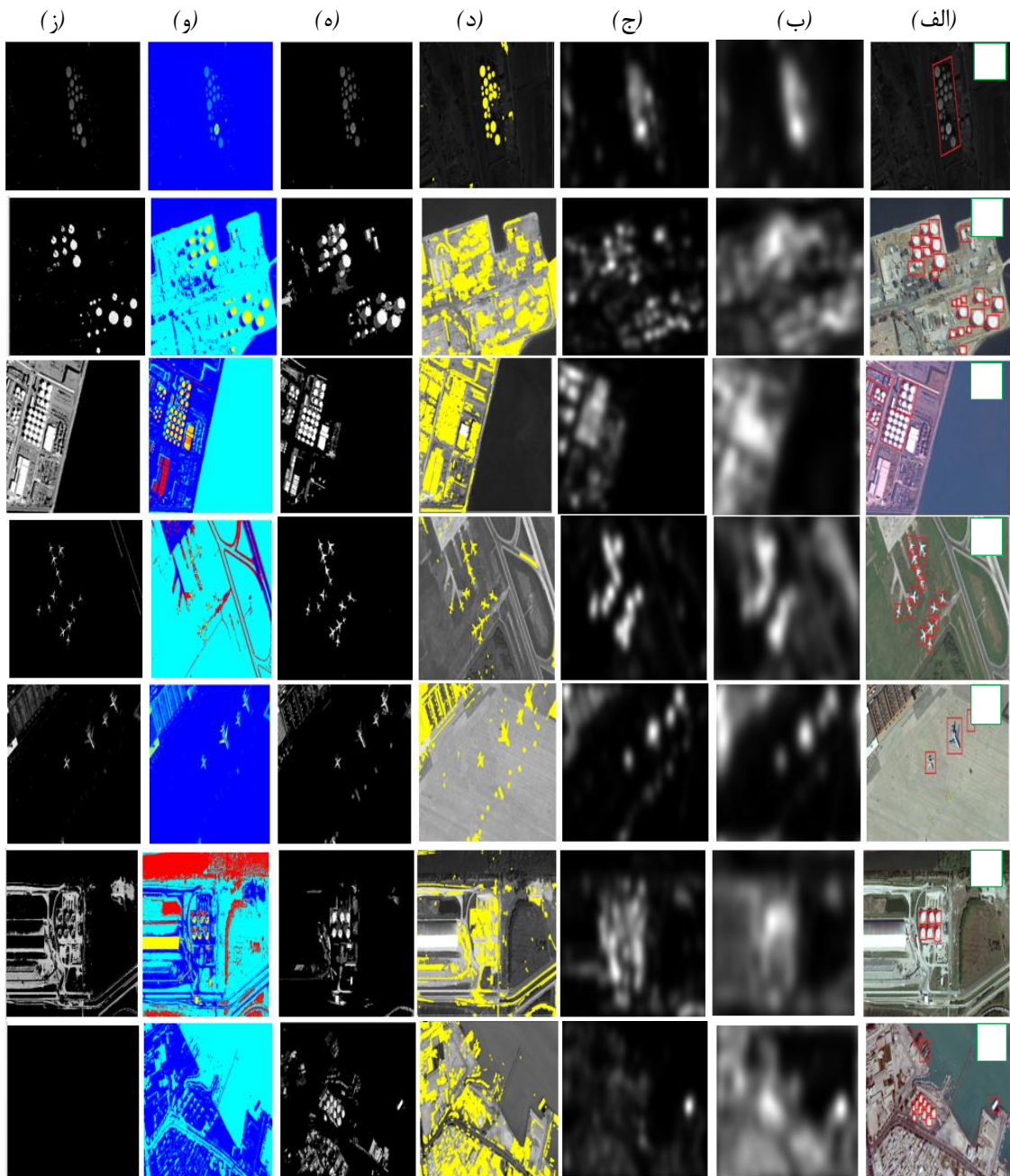
گسترده‌ای از پس‌زمینه را به عنوان مناطق بارز شناسایی نموده است؛ به طوری که حتی این شباهت طیفی در تصویر ۷ باعث شده الگوریتم در شناسایی اهداف ناتوان باشد و تمام نواحی را پس‌زمینه در نظر بگیرد. این در حالی است که روش پیشنهادی در این تحقیق با استفاده از ویژگی‌های عوارض موضعی هر عارضه را به طور مستقل بررسی نموده و نسبت به عارضه هدف بودن یا نبودن آن تصمیم‌گیری می‌نماید و در صورت وجود شباهت طیفی نیز قابلیت شناسایی مناطق بارز تصویر را خواهد داشت.

الگوریتم MSER بر روی تصاویر مورد آزمایش، تعداد ۳۳۶۷ ناحیه با عنوان نواحی تصویری شناسایی کرده ۲۲۵۶ است که با اعمال الگوریتم پیشنهادی تعداد ناحیه به عنوان مناطق بارز مورد تائید قرار گرفته‌اند و سایر نواحی، در حدود ۳۳٪ نواحی شناسایی شده به عنوان مناطق غیر مرتبط در نظر گرفته و از فرآیند حذف شده‌اند.

جهت تعیین دقیق‌تر کمی روش از دو معیار بیان شده در روابط (۵) و (۶) استفاده شد. در این تحقیق تنها اهدافی که مراکز آنها در مناطق شناسایی شده واقعند؛ لحاظ می‌شوند. نتایج حاصل از این ارزیابی در جدول (۳) نشان داده شده است.

نتایج روش پیشنهادی حاکی از شناسایی ۵/۱ درصد از مساحت کل تصویر به عنوان مناطق بارز تصویری است. طبق جدول (۳)، میانگین معیار اول نشان می‌دهد که نسبت ۹۸,۲۸ درصد از اهداف مورد نظر به طور صحیح در مناطق شناسایی شده واقع شده‌اند. این در حالی است که در رویکرد استفاده از الگوریتم انتقال میانگین میزان ۱۰/۷۴ درصد از مساحت کل تصاویر به عنوان مناطق بارز تصویر شناسایی شده و معیار اول برای آن به میزان ۹۱/۲۸ درصد گزارش شده است.

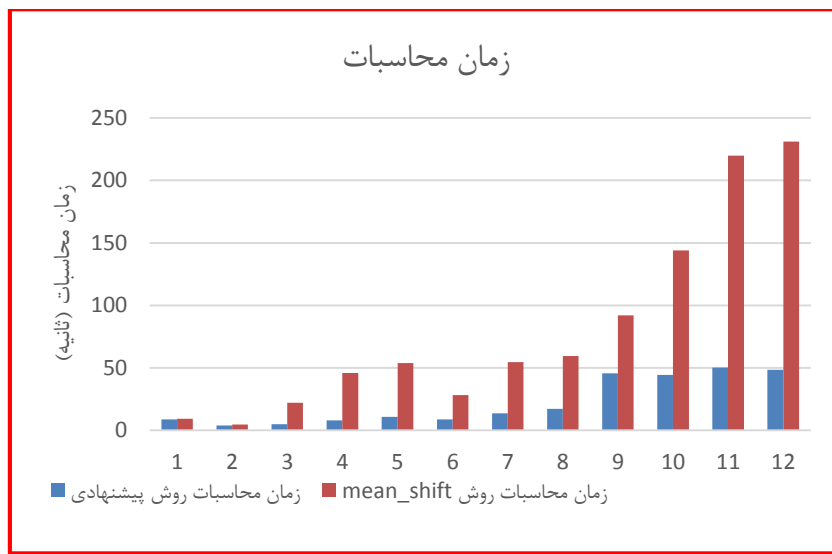
با توجه به نتایج اخذ شده، روش پیشنهادی در مقایسه با الگوریتم انتقال میانگین دارای دقیق‌تر بالاتری بوده و میزان بالاتری از اهداف مکانی را در مناطق کمتری



شکل ۶: مناطق شناسایی شده به عنوان مناطق با احتمال بالای وجود اهداف مکانی. (الف) تصاویر مورد آزمایش، (ب) و (ج) به ترتیب خروجی مدل‌های AWS و WMAP. (د) نواحی تصویری شناسایی شده توسط الگوریتم MSER. (ه) نتایج مناطق بارز شناسایی شده توسط روش پیشنهادی. (و) نتایج قطعه‌بندی انتقال میانگین. (ز) مناطق بارز شناسایی شده توسط اعمال الگوریتم قطعه‌بندی انتقال میانگین

جدول ۳: معیارهای ارزیابی کمی نتایج روش پیشنهادی و روش قطعه‌بندی انتقال میانگین.

روش	معیار٪	تصویر ۱	تصویر ۲	تصویر ۳	تصویر ۴	تصویر ۵	تصویر ۶	تصویر ۷	تصویر ۸	تصویر ۹	تصویر ۱۰	تصویر ۱۱	تصویر ۱۲
روش پیشنهادی	معیار اول	۱۰۰	۹۰	۸۹/۱	۱۰۰	۱۰۰	۱۰۰	۱۰۰	۱۰۰	۱۰۰	۱۰۰	۱۰۰	۱۰۰
	معیار دوم	۰/۱۸۶	۰/۴۳۲	۷/۱۹۰	۷/۸۸۷	۴/۴۳۳	۰/۰۴۶	۰/۱۹۲	۵/۵۷۹	۲/۴۹۹	۲/۵۰۲	۵/۳۴۶	۶/۲۲
روش قطعه‌بندی	معیار اول	۸۵/۷۱	۸۰	۹۲/۸۲	۱۰۰	۷۱/۴۳	۱۰۰	۱۰۰	۱۰۰	۱۰۰	۱۰۰	۶۶/۶۷	۰
	معیار دوم	۰/۰۸۰	۰/۱۹۰	۰/۵۸۹	۳۸/۴۹	۱۵/۹۰	۰/۰۰۳	۰/۰۲۸	۵/۷۸	۱۱/۰۶	۹/۸۸	۲۰/۷۵	۰



شکل ۷: مدت زمان انجام محاسبات برای روش پیشنهادی و روش قطعه‌بندی انتقال میانگین.

مرحله اصلی آشکارسازی عوارض موضوعی، تولید نقشه‌های برجستگی و تعیین مناطق بارز با احتمال بالای وجود اهداف مکانی است. در قسمت اول با توجه به دسته‌بندی‌های صورت گرفته و همچنین هدف این تحقیق از الگوریتم آشکارسازی نواحی تصویری استفاده شد. در این بین از الگوریتم *MSER* که یکی از پایدارترین الگوریتم‌های مستقل از افین معروفی شده است؛ جهت آشکارسازی نواحی

#### ۶- نتیجه‌گیری و پیشنهادات

در این تحقیق یک روش کار آمد ارائه شد که طی آن مناطقی از تصویر با احتمال بسیار بالای وجود اهداف مکانی شناسایی گردید؛ به طوری که این فرآیند باعث افزایش دقّت و سرعت دهی به پردازش‌های مختلف تصویری می‌شود. اساس روش پیشنهادی بر مبنای خصوصیات عوارض موضوعی در تصاویر و مدل‌های برجستگی تصویر است. روش ارائه شده شامل سه

بارز تصویر شناسایی شده است. معیار اول برای این روش میزان  $91/28$  درصد گزارش شده است. همچنین معیار دوم نشان دهنده اختلاف مساحت مناطق شناسایی شده با مساحت واقعی اهداف در تصاویر است که کوچکتر بودن آن نشانه اختلاف کم بین مساحت اهداف مکانی موردنظر و مساحت مناطق شناسایی شده است. این معیار در تصاویر با پس زمینه های یکنواخت بسیار کوچک بوده و در تصاویر با پس زمینه های شلوغ تر افزایش می یابد. با توجه به این معیار شناسایی مناطق بارز در تصاویر با پس زمینه های شلوغ در روش پیشنهادی حالتی بسیار بهینه تر نسبت به روش انتقال میانگین ارائه نموده است.

با در نظر گرفتن خصوصات الگوریتم های قطعه بندی، این الگوریتم ها هیچ گونه تقسیم بندی از لحاظ بارز بودن انجام نمی دهند و غالبا با محاسبه فاصله تک تک پیکسل های تصویر در فضای ویژگی، تصویر را به قطعات مختلف تفکیک می نماید که هزینه محاسباتی فراوانی را در پی داردند. در این راستا استفاده از آشکارسازهای عوارض موضعی سرعت پردازش این مرحله را تا حد بسیار زیادی افزایش داد.

روش ارائه شده قادر است علاوه بر استفاده برای تصاویر چند طیفی بر روی تصاویر تک باندی نیز قابلیت اجرا داشته باشد. همچنین روش پیشنهادی بدون داشتن اطلاعات قبلی از تصویر و محیط انجام شده و هیچ گونه فرآیند آموزشی در نتایج آن دخیل نمی باشد.

جهت انجام تحقیقات بعدی پیشنهاد می شود رتبه بندی عوارض موضعی *MSER* بر اساس ویژگی های آنها نظیر مساحت و کنتراست جهت شناسایی منسجم تر اهداف مکانی مورد استفاده قرار گیرد و همچنین فرآیند شناسایی مناطق بارز توسط انواع مدل های بر جستگی تصویر و نیز سایر الگوریتم های آشکارسازی عوارض موضعی انجام و نتایج آنها با یکدیگر مقایسه شوند.

تصویری بهره گرفته شد. در قسمت دوم با استفاده از الگوریتم های *AWS* و *WMAP* نقشه های بر جستگی تولید و از مقادیر آنها جهت شناسایی مناطق بارز تصویر استفاده شد. درنهایت با استفاده از مقادیر بر جستگی محاسبه شده در کل تصویر، حد آستانه ای تعریف شد و در مورد شناسایی هر ناحیه به عنوان ناحیه بارز تصمیم گیری صورت پذیرفت.

روش پیشنهادی بر روی شش تصویر ماهواره ای از سنجنده های مختلف و شش تصویر اخذ شده از نرم افزار گوگل ارث که دارای پس زمینه با بنی نظمی های مختلف می باشند، پیاده سازی شد. همچنین به دلیل استفاده برخی روش ها از رویکرد قطعه بندی تصویر (برای شناسایی مناطق بارز تصویر) نتایج به دست آمده از روش پیشنهادی، با رویکرد الگوریتم قطعه بندی انتقال میانگین، مقایسه شد. همان طور که نتایج حاصل نشان می دهند الگوریتم انتقال میانگین در صورتی که طیف اهداف مدنظر با پس زمینه تصویر مشابه داشته باشند، اهداف را به صورت پس زمینه تصویر در نظر گرفته و در شناسایی آنها به عنوان مناطق بارز ناتوان خواهد بود. در حالی که در روش پیشنهادی با استفاده از ویژگی های عوارض موضعی، هر عارضه به طور مستقل بررسی شده و نسبت به عارضه هدف بودن یا نبودن آن تصمیم گیری انجام می شود و در صورت وجود شباهت طیفی نیز قابلیت شناسایی مناطق بارز را خواهد داشت.

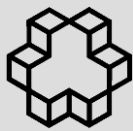
به منظور ارزیابی کمی روش پیشنهادی از دو معیار استفاده شد. نتایج روش پیشنهادی حاکی از شناسایی  $5/1$  درصد از مساحت کل تصویر به عنوان مناطق بارز تصویری است. با توجه به میانگین معیار اول نسبت  $98/28$  درصد از اهداف مورد نظر به طور صحیح در مناطق شناسایی شده واقع شده اند. این در حالی است که در رویکرد استفاده از الگوریتم انتقال میانگین میزان  $10/74$  درصد از مساحت کل تصاویر به عنوان مناطق

## مراجع

- [1] J. Han, D. Zhang, and G. Cheng, "Efficient, simultaneous detection of multi-class geospatial targets based on visual saliency modeling and discriminative learning of sparse coding". *ISPRS Journal of Photogrammetry and Remote Sensing*, 2014.
- [2] G. Cheng, and J. Han, "A survey on object detection in optical remote sensing images". *ISPRS Journal of Photogrammetry and Remote Sensing*, 117: p. 11-28, 2016.
- [3] J. Weber and S. Lefèvre, "Spatial and spectral morphological template matching". *Image and Vision Computing*, 30(12):p. 934-945, 2012.
- [4] U. Weidner and W. Förstner, "towards automatic building extraction from high-resolution digital elevation models". *ISPRS journal of Photogrammetry and Remote Sensing*, 50(4): p.38-49, 1995.
- [5] G.J. Hay, G. Castilla and M.A. Wulder, "An automated object-based approach for the multiscale image segmentation of forest scenes". *International Journal of Applied Earth Observation and Geoinformation*, 7(4): p.339-359, 2005
- [6] H. Sun, X. Sun, and W. Hongqi, "Automatic target detection in high-resolution remote sensing images using spatial sparse coding bag-of-words model". *Geoscience and Remote Sensing Letters, IEEE*, 9[42]: p. 109-113, 2012.
- [7] J.K. Tsotsos, S.M. Culhane, and W.Y.K Wai, "Modeling visual attention via selective tuning". *Artificial intelligence*, 78[42]: p. 507-545, 1995.
- [8] E. Niebur, and C. Koch, "Computational architectures for attention." *The attentive brain*, p. 163-186, 1998.
- [9] A. Sedaghat, H. Ebadi, and M. Mokhtarzadeh, "Develop of SIFT algorithm for satellite image matching." *Journal of remote sensing & GIS*, 2(8), 2010.
- [10] A. Sedaghat, H. Ebadi, and M. Mokhtarzadeh, "Image matching of satellite databased on quadrilateral control networks." *The Photogrammetric Record*, 27(140): p. 423-442, 2012.
- [11] A. Sedaghat, "an Optimised Automatic HR image Registration Methodology Based on the Integration of Advanced Area Based and Feature Based Methods." *Faculty of Geodesy and Geomatic, K.N Toosi University of Technology*, 2010. (Persian)
- [12] A. Sedaghat, H. Ebadi, and M. Sahebi, "Change detection in urban areas in large-scale satellite images using local features." *Jornal of Geomatics Science and Technology*, 2(4): p. 1-16, 2013. (Persian)
- [13] Y. Furukawa, and J. Ponce, "Accurate, dense, and robust multiview stereopsis." *Pattern Analysis and Machine Intelligence, IEEE Transactions on*, 32(8): p. 1362-1376, 2010.
- [14] Y. Yang, and S. Newsam, "Geographic image retrieval using local invariant features." *Geoscience and Remote Sensing, IEEE Transactions on*, 51[42]: p. 818-832, 2013.
- [15] T. Tuytelaars, and K. Mikolajczyk, "Local invariant feature detectors: a survey." *Found. Trends. Comput. Graph. Vis.*, 3[42]: p. 177-280, 2007.
- [16] B. Sirmaçek, and C. Ünsalan, "Urban area detection using local feature points and spatial voting." *Geoscience and Remote Sensing Letters, IEEE*, 7[42]: p. 146-150, 2010.
- [17] A. Borji, M.M. Cheng, and H. Huaiyu, "Salient object detection: A benchmark." *Image Processing, IEEE Transactions on*, 24(12): p. 5706-5722, 2015.

- [18] M. Donoser, M. Urschler, and M. Hirzer, “Saliency driven total variation segmentation.” in *Computer Vision, 2009 IEEE 12th International Conference on*, IEEE, 2009.
- [19] U. Rutishauser, D. Walther, and C. Kochet, “Is bottom-up attention useful for object recognition in Computer Vision and Pattern Recognition”, 2004. *CVPR 2004. Proceedings of the 2004 IEEE Computer Society Conference on*. IEEE, 2004.
- [20] C. Christopoulos, A. Skodras, and T. Ebrahimi, “The JPEG2000 still image coding system: an overview.” *Consumer Electronics, IEEE Transactions on*. 46(4): p. 1103-1127, 2000.
- [21] G.X. Zhang, M.M. Cheng, and S.M. Hu, “A Shape-Preserving Approach to Image Resizing.” in *Computer Graphics Forum*. Wiley Online Library. 2009.
- [22] T. Chen, M.M. Cheng, and P. Tan, “Sketch2Photo: internet image montage.” *ACM Transactions on Graphics (TOG)*. 28(5): p. 124, 2009.
- [23] L. Itti, C. Koch, and E. Niebur, “A model of saliency-based visual attention for rapid scene analysis.” *IEEE Transactions on Pattern Analysis & Machine Intelligence*, (11): p. 1254-1259, 1998.
- [24] R. Achanta, S. Hemami, F. Estrada, “Frequency-tuned salient region detection.” In *Computer vision and pattern recognition, 2009. Cvpr 2009. IEEE conference on*. IEEE, 2009.
- [25] T. Liu, Z. Yuan, and J. Sun, “Learning to detect a salient object.” *Pattern Analysis and Machine Intelligence, IEEE Transactions on*. 33[42]: p. 353-367, 2011.
- [26] S. Goferman, L. Zelnik-Manor, and A. Tal, “Context-aware saliency detection.” *Pattern Analysis and Machine Intelligence, IEEE Transactions on*. 34(10): p. 1915-1926, 2012.
- [27] K.Y. Chang, T.L. Liu, and H.T. Chen, “Fusing generic objectness and visual saliency for salient object detection.” In *Computer Vision (ICCV), 2011 IEEE International Conference on*. IEEE. 2011.
- [28] H. Jiang, J. Wang, and Z. Yuan, “Automatic salient object segmentation based on context and shape prior.” In *BMVC*. 2011.
- [29] Shen, X. and Y. Wu. “A unified approach to salient object detection via low rank matrix recovery.” In *Computer Vision and Pattern Recognition (CVPR), 2012 IEEE Conference on*. IEEE. 2012.
- [30] R. Margolin, A. Tal, and L. Zelnik-Manor. “What makes a patch distinction in Proceedings of the IEEE Conference on Computer Vision and Pattern Recognition.” 2013.
- [31] F. Bi, B. Zhu, and L. Gao, “A visual search inspired computational model for ship detection in optical satellite images.” *Geoscience and Remote Sensing Letters, IEEE*, 9(4): p. 749-753, 2012.
- [32] Z. Li, and L. Itti, “Saliency and gist features for target detection in satellite images.” *Image Processing, IEEE Transactions on*, 20(7): p. 2017-2029, 2011.
- [33] J. Sun, Y. Wang and Z. Zhang, “Salient region detection in high-resolution remote sensing images.” In *Wireless and Optical Communications Conference (WOCC), 2010 19th Annual*. IEEE. 2010.
- [34] K. Mikolajczyk, T. Tuytelaars, and C. Schmid, “A comparison of affine region detectors.” *International journal of computer vision*. 65(1-2): p. 43-72, 2005.
- [35] J. Matas, O. Chum, and M. Urban, “Robust wide-baseline stereo from maximally stable extremal regions.” *Image and vision computing*, 22(10): p. 761-767, 2004.
- [36] A. Garcia-Diaz, X.R. Fdez-Vidal, and X.M Pardo, “Saliency from hierarchical adaptation through decorrelation and variance normalization.” *Image and Vision Computing*, 30[42]: p. 51-64, 2012. <http://persoal.citius.usc.es/xose.vidal/code.php?person=xose>

- [37] A. Garcia-Diaz, V. Leboran, and X.R. Fdez-Vidal, "On the relationship between optical variability, visual saliency, and eye fixations: A computational approach." *Journal of vision*, 12(6): p. 17-17, 2012.
- [38] F. López-García, R. Dosil, and X.M Pardo, "Scene Recognition through Visual Attention and Image Features: A Comparison between SIFT and SURF Approaches", INTECH Open Access Publisher, 2011. <http://persoal.citius.usc.es/xose.vidal/code.php?person=xose>
- [39] A. Borji, D.N. Sihite, and L. Itti, "Quantitative analysis of human-model agreement in visual saliency modeling: a comparative study." *Image Processing, IEEE Transactions on*, 22[42]: p. 55-69, 2013.
- [40] Field, D.J., "Relations between the statistics of natural images and the response properties of cortical cells." *JOSA A*, 1987. 4[1] p. 2379-2394
- [41] C.M. Christoudias, B. Georgescu, and P. Meer. "Synergism in low-level vision." In *Pattern Recognition, 2002. Proceedings. 16th International Conference on. IEEE*. 2002.



## ***Salient regions detection in satellite images using the combination of MSER local features detector and saliency models***

*Fariborz Ghorbani<sup>1\*</sup>, Hamid Ebadi<sup>2</sup>, Amin Sedaghat<sup>3</sup>*

*1-M.s.c student of Photogrammetry and Remote Sensing Department of Geodesy and Geomatics Engineering, K.N. Toosi University of Technology*

*2- Full Professor in Department of Photogrammetry and Remote Sensing, Faculty of Geodesy and Geomatics Engineering, K.N. Toosi University of Technology*

*3- Assistant professor in Department of Surveying Engineering, Tabriz University*

### ***Abstract***

Nowadays, due to quality development of satellite images, automatic target detection on these images has been attracted many researchers' attention. Remote-sensing images follow various geospatial targets; these targets are generally man-made and have a distinctive structure from their surrounding areas. Different methods have been developed for automatic target detection. In most of these methods, target searching was used for features extraction or matching in order to detect the geospatial targets. Hence, in this paper, in order to improve computational time in target detection process, the areas of images with high probability of geospatial target existence, were selected. This will significantly improve the automation level of the process and computational time in following processes. For this purpose, a combination of saliency models and the of-local features detector's algorithm were used. The proposed method consists of three main steps, including local feature extraction by applying MSER algorithm, saliency maps generation by applying AWS and WMAP models and regions determination with high probability of geospatial target existence. In this paper, a threshold was defined by calculating the saliency values in the whole image. Salient regions were detected by applying the threshold for each extracted area. This method was implemented on six satellite images by different sensors and the mentioned six satellite images derived from Google Earth software that consist several geospatial targets with various backgrounds. Two criteria were used in order to quantitatively assess the results. Moreover, this method was compared with the mean shift segmentation algorithm in the color space images that was applied to detect saliency regions of an image. The results of the proposed method showed that the average of the detected areas was 5.1% of the total area of the images in which 98.28% of the targets were located in these regions. In addition, the average amount of computational time was 22.1 seconds. The results showed the superiority of the proposed method in terms of accuracy and computational speed.

***Keywords:*** Salient areas, Satellite images, AWS algorithm, WMAP algorithm, MSER algorithm

**Correspondence Address :** No.1346, ValiAsr Street, Mirdamad cross, Geomatic Engineering Faculty, K.N. Toosi University of Technology, Tehran, Iran  
**Tel :** +9821-88877071.  
**Email:** F\_ghorbani95@yahoo.com